

碎波点における水粒子速度に関する実験的研究

北見工業大学工学部 正員 佐藤 幸雄

I. まえがき

斜面上の碎波点における波の諸性質については、古くは Inversen により、最近では佐伯¹⁾、榎木²⁾により実験的、理論的に詳細な研究がなされている。また、斜面上の波は一般的には変形を伴い理論的取扱いが難かしいことは周知のことではあるが、最近では、岩垣、酒井³⁾により変形を伴う場合の波の数値解と碎波点の波の波形ならびに流速分布がよく適合することが述べられており。本研究もまた上記各研究と同様碎波点の波に着目するものであるが、碎波の諸性質のうちで、特に碎波点での底面附近における水粒子の流速について、その発生状況と冲波との関係を調べ、さらに底面の勾配別による向岸流速、沖向き流速との関係、プロペラ式流速計と熱線流速計による場合の測定値の差異について、また熱線流速計による底面流速の測定値と水平床の場合の従来の孤立波、有限振幅波の理論値とを二・三比較検討を行つたものである。結果は以下に述べる通りである。

II. 実験方法

水槽は巾20cm、深さ70cm、長さ13.0mの造波水槽を使用し、傾斜板の表面には籠ビードを張り、底面は滑面状態である。冲波が高、碎波が高の測定には抵抗線式波高計を使用し、碎波点においては碎波高測定と同時に底面附近流速を測定した。流速測定にプロペラ式流速計を使用した場合はプロペラ取付け枠の関係でプロペラ中心の位置は底面より1.5cm高く、完全に底面上の位置ではない。発生するパルスは直接ペン書きオットログラフに記録した。また、熱線流速計を使用した場合は、プロペラ保護の意味で底面より0.5cm高い位置にセットし、その点の流速測定値をデータレコーダーを通してビデオグラフに記録した。

これら2通りの場合の流速測定の記録状態を図-1に示した。

以上のような測定方法により、沖水深30.0cmで一定の場合の種々の碎波形状勾配の波について、碎波点の底面附近の水粒子速度を測定した。流速計の種類と底面勾配ならびに碎波の周期等の実験波諸元との関係については表-1に示す通りである。なお、データ整理の場合に必要な流速計校定を行なう方法としては、プロペラ式、熱線式のいずれの流速計についても、トロッコ式流速計を取り付けて走行させる方法を使用した。

III. 実験結果ならびに考察

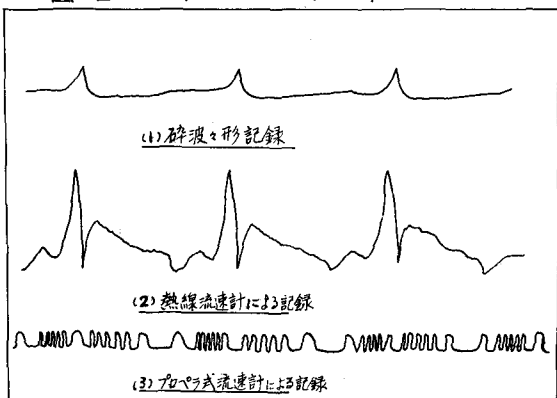
図-2のようない記号を使用すると、斜面上の場合については、碎波高 H_b 、碎波水深 h_b 、碎波の谷部より底面までの距離 z_b 、碎波の波頂通過時の底面最大流速 U_b (向岸の場合)、碎波の谷部通過時の底面最

表-1 実験の諸元

流速計の種類	底面勾配	記号	周期 sec.	沖波高 H_b	碎波形状勾配
プロペラ式流速計	1/15	□	1.0 ~8.8	0.01~0.088	0.004~0.08
	1/30	△			
	1/50	○			
熱線流速計	1/50	▲	0.8	0.8	0.025~0.041
		△	1.0		0.012~0.021
		×	1.2	~4.1	0.011~0.025
		○	1.5		0.005~0.011
		●	1.7		0.003~0.008

沖水深は30.0cmで一定

図-1 プロペラ式ならびに熱線流速計による記録状況



大流速 U_b' (沖向きの場合), また水平床の場合について述べる。
碎波高 H_{b0} , 碎波の谷部より底面までの距離 h_0 , 静水面より
波高中分面までの距離 δ_0 , 波長 L_0 である。

i) プロペラ式流速計の場合と底面勾配との関係

プロペラ式流速計を使用して測定した場合の底面の最大流速値 U_b (向岸), U_b' (沖向き) の値について, それと縦軸に $U_b/\sqrt{gh_b}$, $U_b'/\sqrt{gh_b}$, 横軸に h_b/L_0 の関係で図に示すと各々の底面勾配

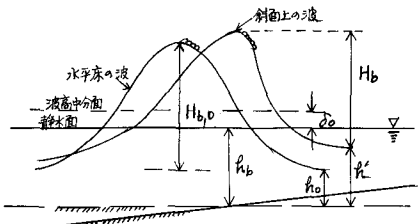


図-2 記号の説明

について図-3, 4 のようになり, 勾配が $1/50$, $1/30$, $1/15$ と次第に急になると, なががって向岸流速は減少し, 逆に沖向き流速が上昇する傾向にあり, なががって勾配が急になるとともに沖向きの強い底り流れが発生していることが認められる。また, 各勾配別に見た場合は, 比水深 h_b/L_0 が大きい値において向岸流速, 沖向き流速の値が接近し, さらに大きな h_b/L_0 の値では逆に沖向き流速が大きくなる傾向にあることが推測される。そして, まだ大局的に見て漂砂の問題と同一一般的に考へられていく3勾配が急な程比較的小さな波形勾配 (h_b/L_0 と同程度の値) の値で欠陥型の海浜タイプにならう傾向と底面流速の発生状況の傾向とが類似していることが当然とは云えるがよく現われてゐると云ふ。

なお, 底面流速値そのものについては、プロペラ式流速計の場合, 非定常流に対する追従性, ならびに記録からのパルス数の読み取りの上で不正確さがあり, このような事は同じ $1/50$ 勾配についての熱線流速計の場合の流速値と比較すると, h_b/L_0 が小さな値, すなわち流速値の比較的小さい場合にかなり差異が認められることがよりわかる。したがって, プロペラ式による流速値については, ここでは傾向を見る程度とした。

ii) 热線流速計を使用した場合の底面流速値について (勾配 $1/50$ の場合)

热線流速計により測定した底面附近(底面より 0.5cm 上の位置)の流速値について i) のプロペラ式の場合と同様に $U_b/\sqrt{gh_b}$, $U_b'/\sqrt{gh_b} \sim h_b/L_0$ の関係で図に示すと, 勾配 $1/50$ の場合には図-5, 6 のようであり, プロペラ式流速計の場合よりやはり底度がよく流速値は大きく現われている。しかし h_b/L_0 に対する流速値の発生状況は

図-3 向岸流速の勾配別変化

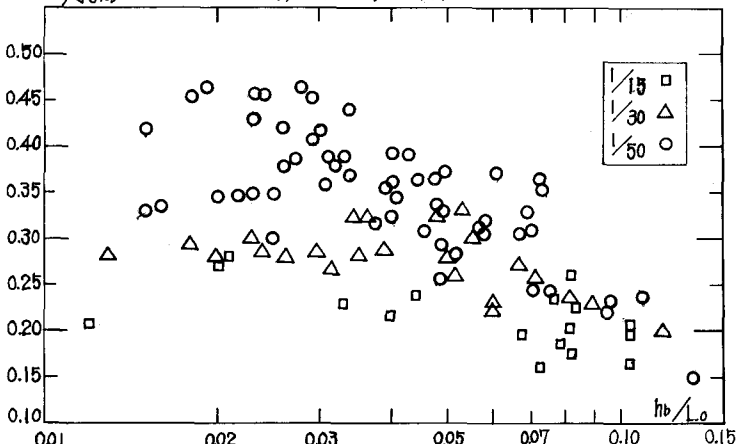
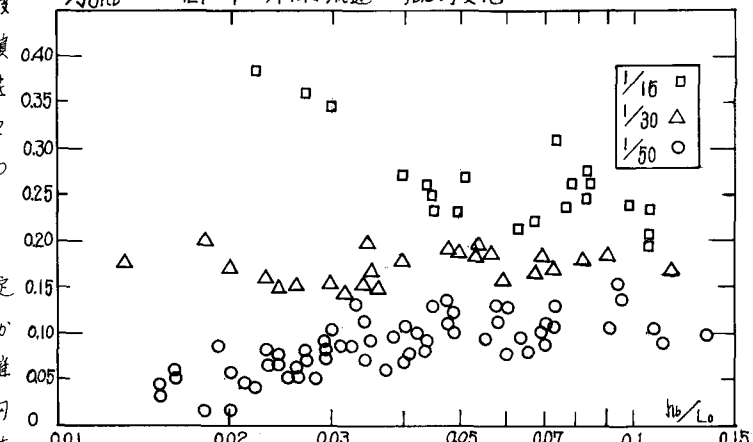


図-4 沖向き流速の勾配別変化



向岸流、沖向き流共に(1)で説明したプロペラ式の場合と同様な傾向にあり、 h_b/L_0 が小さい場合は向岸流速は沖向き流速より大きく、また h_b/L_0 が大きくなるにしたがって両者は接近していく。

つぎに、これらの流速値と従来の孤立波理論と比較した場合について下記に示す。

$$\text{碎波限界} \quad H_b/h_b = 0.78 \quad \cdots \cdots (1)$$

$$\text{流速分布式} \quad U/\sqrt{gh_b} = \frac{H_b}{h_b} \left\{ 1 + \frac{3}{4} \left(\frac{H_b}{h_b} \right) \left(2 \frac{Z}{h_b} + \frac{Z^2}{h_b^2} \right) \right\} \quad \cdots \cdots (2)$$

式(2)において $Z = -h_b$ とおき、さらに式(1)考慮すると、底面流速(向岸の場合)は式(3)で与えられる。

$$U_b/\sqrt{gh_b} = 0.323 \quad \cdots \cdots (3)$$

式(1)、(3)は共に h_b/L_0 に無関係に直線で与えられ、これらの値を図に示すと底面流速、碎波位置における底面流速はそれが図-5、図-7に実線で示すようになり孤立波の計算値は波高、流速とともに平均的値を示していくようである。

さらに有限振幅波の碎波限界を与えた Miche の式⁽⁴⁾を使用して水平床の場合と斜面上の碎波についての差異を調べるとつぎのようである。

$$\text{Miche の式;} \quad H_b/h_b = 0.142 \tanh(2\pi h_b/L_b) \quad \cdots \cdots (4)$$

$$\text{式(4)より} \quad H_b/h_b = 0.142 \tanh(2\pi h_b/L_b) / (h_b/L_b) \quad \cdots \cdots (5)$$

式(5)による計算値を図-7に実線で示すと比較的よい傾向にあるため、この場合の碎波位置を使用して、式(6)により有限振幅波の碎波限界での底面流速について試算を行なってみた。

$$\begin{aligned} \frac{U_b}{\sqrt{gh_b}} &= \sqrt{\frac{1}{2\pi} \frac{1}{(h_b/L_b)} \tanh \frac{2\pi h_b}{L_b}} \times \left(\frac{h_b}{L_b} \right)^2 \left(\frac{H_b}{h_b} \right)^2 \\ &\times \left(\frac{1}{\sinh(2\pi h_b/L_b)} + \frac{3}{4 \sinh^2(2\pi h_b/L_b)} \right) \quad \cdots \cdots (6) \end{aligned}$$

左方図に示す場合の h_b/L_0 より h_b/L_0 との換算にはすべて、微小振幅波の場合の式(7)を使用した。

$$L_b/L_0 = \tanh \frac{2\pi h_b}{L_b} \quad \cdots \cdots (7)$$

式(5)、(6)を使用して計算した水平床の場合の底面流速に對しては $U_b/\sqrt{gh_b} = U_b/\sqrt{gh_b}$ で向岸、沖向き流速は等しく図-5、6に破線で示した通りであり、測定値とは沖向き流速との間に比較的大きな差異が見受けられる。この理由は斜面上で波が変形することと、底面流れが発生すること等によることは当然考えらるが、また、波の変形にともなって碎波前面波長の短縮、前面水位の変化等も水平床の場合と当然異っていると考えらる。

図-5 向岸流速の変化

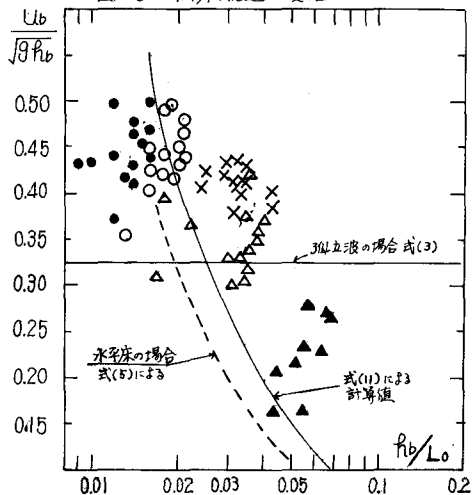


図-6 沖向き流速の変化

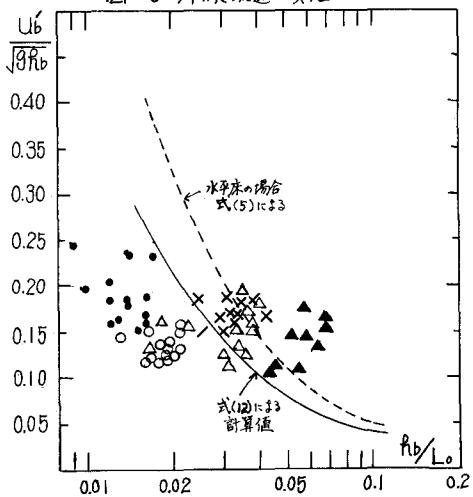
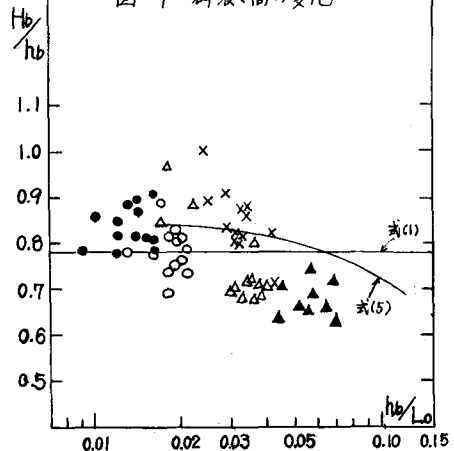


図-7 碎波位置の変化



そこで、特に水平床の碎波時と斜面上の場合の碎波について、それぞれの碎波前面水位 h_0 、 h' と比較するところのようである。水平床の場合に静水面と波高中分面との距離 δ_0 が

$$\delta_0 = \frac{\pi H_{b,0}^2}{4 L_b} \coth \frac{2\pi R_b}{L_b} \quad \cdots \cdots (8)$$

で与えられるとき、碎波前面水位 h_0 を求めると、

$$\frac{h_0}{h_b} = 1 + \frac{\delta_0}{h_b} - \frac{1}{2} \left(\frac{H_{b,0}}{h_b} \right)^2 = 1 + \frac{\pi}{4} \left(\frac{H_{b,0}}{h_b} \right)^2 \left(\frac{h_b}{L_b} \right) \coth \frac{2\pi R_b}{L_b} - \frac{1}{2} \left(\frac{H_{b,0}}{h_b} \right)^2 \quad \cdots \cdots (9)$$

いま式(5), (9)を使用して h_0/h_b を計算し、 $h_0/L_b \sim h'/L_b$ の関係を測定値と比較すると図-8 のようになり斜面上の碎波の場合は測定値が実線で示されるのに対し、水平床の場合には破線のように示される。すなわち h_0/L_b が小さい場合は斜面上の碎波の場合の方が前面水位が上昇していると考えられる。また斜面上の場合の前面水位 h' については図中の実線があり、

$$h'/h_b = 0.75 \quad (\text{一定}) \quad \cdots \cdots (10)$$

の関係が得られる。

つぎに、斜面上の碎波の波形は非対称であり、波高中分面の位置は明確でないが、いま、かりに向岸流発生には静水面より上部、沖向流発生には静水面より下部の波形が関係していると考えると、水平床の場合の波形を $(h' - h_0)$ だけ移動させることにより、つぎの関係が得られる。

$$\text{向岸流の場合} \quad \frac{1}{2} \left(\frac{H_b}{h_b} \right) = \left\{ \frac{1}{2} \left(\frac{H_{b,0}}{h_b} \right) + \left(\frac{h'}{h_b} - \frac{h_0}{h_b} \right) \right\} \cdots (11)$$

$$\text{沖向流の場合} \quad \frac{1}{2} \left(\frac{H_b}{h_b} \right) = \left\{ \frac{1}{2} \left(\frac{H_{b,0}}{h_b} \right) - \left(\frac{h'}{h_b} - \frac{h_0}{h_b} \right) \right\} \cdots (12)$$

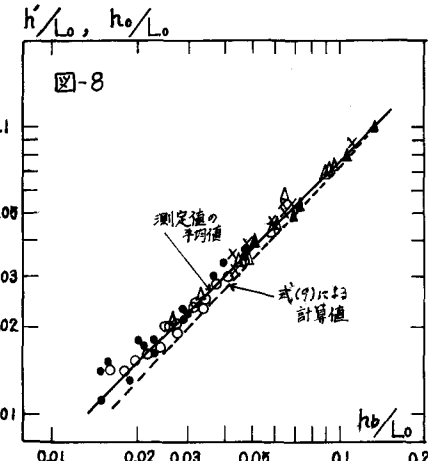


図-8 碎波前面水位の変化

いま、向岸流速算定には式(11)の H_b/h_b を、沖向き流速の場合には式(12)の H_b/h_b を使用し、さらに、式(9), (10)を使用して式(6)により底面流速の試算を行なった結果、図-5, 6 に実線で示されるように、いくらか、斜面上の碎波の場合の測定値に近づく結果が得られた。

IV. あとがき

今回は主として熱線流速計による底面附近の流速測定値の発生状況を調べ、さらに、水平床の場合の有限振巾波の碎波限界を与える種々の式の中の一つである Madsen の式を使用して種々試算を行ない、斜面上の場合と比較を行なったが、碎波前面水位の上昇の考慮については、今回は $1/50$ 勾配に限ってのみ行なっているため、複勾配の場合については、ある一定の傾向が得られるだろうことが期待できるとしても、さらに急勾配になると場合には、斜面からの強い底り流れ、ならびに反射波の影響が考えられ、これらの影響をすべて前面水位の変化に含めて考えた場合には、ある一定の傾向が得られるか否かは、今後一層実験によつて調べる必要があると思われる。

終りに、本報告のまとめに当たり終始、計算、図表の作成等にご協力と御いた本学 総務課助手に心より謝意を表します。

参考文献

- 1) 弥林・佐伯 “碎波後の波の変形に関する研究(2)” 第21回海岸工学講演会論文集, 1974
- 2) 横木・岩田・中込 “碎波の内部構造に関する基礎的研究(第1報)” 第15回海岸工学講演会論文集, 1969
- 3) 岩垣・酒井 “Stream Function Theory による斜面上の碎波の水柱の速度の実験について” 第21回海岸工学講演会論文集, 1974
- 4) 例えば、“海岸工学” 井島武士著 朝倉書店